

การวิเคราะห์ข้อมูลและการทดลอง

4.1 การวิเคราะห์หาค่า $2DK^2$

ในการวิเคราะห์หาค่า $2DK^2$ เพื่อนำไปสูตร D นั้น ให้ใช้สมการที่ 2.29 เป็นสมการในการวิเคราะห์ ซึ่งสมการที่ 2.29 เป็นสมการที่นอร์มอลไรซ์ฟังก์ชันความสัมพันธ์แล้ว แต่เนื่องจากเครื่องสร้างความสัมพันธ์ในข้อมูลของฟังก์ชันความสัมพันธ์ที่ยังไม่ไนนอร์มอลไรซ์ ดังนั้นจึงเขียนสมการที่ 2.29 เป็น

$$\frac{G^{(2)}(v)}{F} = 1 + Ae^{-2DK^2 L} \quad (4.1)$$

เมื่อ F คือ นอร์มอลไซร์ชันแฟคเตอร์ (Normalization Factor) หรือค่าเฉลี่ยในรูปที่ ๔ ไปของชิงเกิดเอกซ์โพเนนเชียลก์เฉลี่ยในเวลา

$$Y(I) = Ae^{-BX(I)} + C \quad (4.2)$$

เมื่อ $B = 2DK^2$

A, C คือ ค่าคงที่ใด ๆ

$Y(I)$ คือ ฟังก์ชันความสัมพันธ์ที่ยังไม่ไนนอร์มอลไรซ์ $[G^{(2)}(v)]$

X(I) คือ เวลาหน่วง (T)

เครื่องสร้างฟังก์ชันความสัมพันธ์แบบกำหนดค่าจะสร้างฟังก์ชันความสัมพันธ์ในลักษณะชิงเกิดเอกซ์โพเนนเชียลกามสมการที่ 4.2 ดังทัวอย่างแสดงในรูปที่ 4.1 รูปนี้เป็นข้อมูลจากการทดลอง ณ ความเข้มข้นของสารละลายน้ำเป็น 10 mg/cc ที่อุณหภูมิ 42.96°C

ในการวิเคราะห์หาค่า A, B, C และความคลาดเคลื่อนของค่า B ใช้โปรแกรมไมโครคอมพิวเตอร์คั่งแสดงในภาคบันทึก โดย $x(I)$ คือ T = $\ln T$ เมื่อ T มีค่าตั้งแต่ 1 ถึง 48 T คือช่วงเวลาในการนับสัญญาณฟotonและครั้งขั้นตอนการวิเคราะห์มีค่านี้คือ

เครื่องสร้างฟังก์ชันความลับพื้นที่จะสร้างความลับพื้นที่ของ $Y(I) = \langle n(0)n(n) \rangle$ หากันอิรุ่มอิเล็กซ์ของ $Y(I)$ โดยเอาค่า F หาค่า $Y(I)$ ค่า F หาได้ดังนี้คือ จากสมการที่ 2.26

$$F = \frac{n}{n_k} n$$

ซึ่งในการทดลองจริง ๆ และไม่สามารถจะวัดค่าเฉลี่ยໄก์อย่างแท้เป็นค่าประมาณของอุณหภูมิทั้งหมด (Total Samples) คือ

$$F = \frac{[Total Unclipped Counts] \times [Total Clipped Counts]}{Total Samples}$$

ซึ่งในโปรแกรมคือ $T(1) \times T(2)/T(4)$ ค่า $Y(I)$ ทั้งหมดที่น้อยกว่าและแล้วก็จะนำไปใช้โดยไป

สำหรับค่า C หาได้จากค่าเฉลี่ยของ $Y(I)$ เมื่อ I มีค่าตั้งแต่ 39 T ถึง 48 T (ค่าเฉลี่ยของ $Y(I)$ ใน 10 หน่วยสะเด็จชัยลัมจากชุมชนสุกท้าย) จากค่า C ที่ได้นำไปประมาณหาค่า A และ B ขั้นตอนที่นี้ จากการที่ 4.2

$$Y(I) - C = Ae^{-BX(I)}$$

$$\ln [Y(I) - C] = \ln A - BX(I)$$

เมื่อแทน I เป็น 1 T และ 10 T จะได้ค่า A และ B ดังนี้คือ

$$A = \frac{Y(1T) - Y(10T)}{\exp BX(1T) - \exp BX(10T)}$$

$$B = \frac{\ln [Y(1T) - C] - \ln [Y(10T) - C]}{X(1T) - X(10T)}$$

$$Y(I) = (A + \Delta A)e^{(B + \Delta B)X(I)} + (C + \Delta C)$$

โดยที่ ΔA , ΔB และ ΔC เป็นค่าที่เกิดจากความคลาดเคลื่อนของการประมาณคงรังแรก จากนั้นใช้วิธี Regression Analysis หาก ΔA , ΔB และ ΔC ออกมาได้โดยการคำนวณค่า sum deviation square (SDS) โดยที่

$$SDS = \sum \left[Y(I) - \left\{ (A + \Delta A)e^{(B + \Delta B)X(I)} + (C + \Delta C) \right\} \right]$$

ในโปรแกรมคำนวณให้ SDS มีค่าน้อยกว่า 10^{-8} ถึงนั้นจะได้ค่า $A + \Delta A$, $B + \Delta B$ และ $C + \Delta C$ ซึ่งเป็นค่า A , B และ C ที่ทองคำส่วนรับค่า B นั้นเป็นค่าที่จะนำไปหาค่า D ท่อไป

4.2 การวิเคราะห์หาค่า D

จากสมการที่ 2.2 คำนวณค่า K หาได้จาก

$$K = 4\pi n \sin \frac{\theta}{2} / \lambda$$

ในการทดลองนี้ $\theta = 90^\circ$

$$\lambda = 632.8 \text{ nm}$$

n = ค่านี้หักเบื้องการบอนเทกระดลอไรค์

$$= 1.46$$

$$\pi = 3.1428$$

$$\text{จะได้ } K = 2.0510 \times 10^7 \text{ m}^{-1}$$

$$\text{และ } 2K^2 = 8.4128 \times 10^{14} \text{ m}^{-2}$$

$$\text{ดังนั้น } D = \frac{B}{2K^2}$$

4.3 การทดลอง

ในการทดลองนี้ทำการทดลองเพื่อหาค่า D ของสารละลายน้ำมันพืชในน้ำ ในการบอนเทกระดลอไรค์ เมื่อความเข้มข้นเปลี่ยนแปลงไป ความเข้มข้นของสารละลายน้ำมันพืชที่ใช้มี 7 ค่าคือ 10, 15, 20, 25, 30, 35 และ 40 mg/cc โดยแต่ละความเข้มข้นทำการทดลองหาค่า $2DK^2$ ณ อุณหภูมิคงที่ 7 ชั่วโมงมีค่า 35.87, 38.42, 40.75, 42.96, 45.20, 47.16 และ 49.49 องศาเซลเซียส ตามลำดับ

ทำการทดลองโดยนำเซลล์รัฐสารละลายใส่ลงไปในส่วนควบคุม อุณหภูมิ ใช้โปรแกรมคอมพิวเตอร์ทั้งอุณหภูมิที่ต้องการ ใช้เวลาให้อุณหภูมิคงที่ประมาณ 2 ชั่วโมง จึงเริ่มทันการทดลอง โดยทั้งเวลาหน่วงและกำหนดระดับ การ clip เก็บข้อมูลโดยใช้โปรแกรมไมโครคอมพิวเตอร์ทั้งแสดงในภาคบันทึก การวิเคราะห์หาค่า B จากโปรแกรมที่ได้ถูกนำไปแล้วในหัวขอที่ 4.1 ค่า B จะเริ่มคงที่ในชั่วโมงที่ 5-6 ตั้งนั้น ค่า B ในแต่ละคราวเข้มข้นจึงเป็นค่า B เนี้ยในชั่วโมงที่ 5-6

4.4 ผลการทดลอง

ค่า B ณ อุณหภูมิและความเข้มข้นทาง ๆ แสดงในการงานที่ 4.1 ชี้แจงเห็นว่า ณ อุณหภูมิคงที่ใด ๆ เมื่อความเข้มข้นเพิ่มขึ้นค่า B จะเพิ่มขึ้นอย่างค่า D คำนวณจากความสัมพันธ์ $B = 2DK^2$ แสดงในการงานที่ 4.2

เมื่อนำค่าความเข้มข้นของสารละลายและค่า D ที่ได้ ณ อุณหภูมิทาง ๆ ไปเขียนกราฟจะได้รูปความสัมพันธ์ดังแสดงในรูปที่ 4.2 ลักษณะที่ 4.8 ซึ่งความสัมพันธ์ที่ได้อาศัยโปรแกรมวิเคราะห์กราฟแบบโพลีโนเมียล พนวา สมการที่วิเคราะห์ได้คือสุกคือ

$$Y = A + BX + EX^2$$

เมื่อ Y คือ สัมประสิทธิ์การแพร่กระจาย : D

X คือ ความเข้มข้นของสารละลาย : c

A คือ สัมประสิทธิ์การแพร่กระจายเมื่อ $c \rightarrow 0$: D_0

B, E คือ ค่าคงที่ได้ : $k_D D_0$, $k'_D D_0$

คั่งนัน รูปสุ่มการที่วิเคราะห์ให้ก็ที่สุกคือ

$$D = D_0 (1 + k_D c + k'_D c^2)$$

รูปความลับพันธ์หัง 7 รูป (4.2-4.8) นำมารวมกันคั่งแสดงในรูปที่ 4.9 ซึ่งแสดงว่าเมื่ออุณหภูมิค่า ค่า D ก็ทำกวย สำหรับรูปกราฟความลับพันธ์ของค่า D กับอุณหภูมิแสดงในรูปที่ 4.10 กราฟทุกเส้นเป็นเส้นตรงวิเคราะห์โดยโปรแกรมการวิเคราะห์เส้นตรง ซึ่งค่าความชันของกราฟทุก ๆ ความเข้มข้นมีแนวโน้มมากขึ้นเมื่อความเข้มข้นมากขึ้น แสดงในรูปที่ 4.11

ค่า D_0 , k_D และ k'_D ที่ได้จากการวิเคราะห์รูปกราฟที่ 4.2-4.8 แสดงในการที่ 4.3 ซึ่งเมื่อนำค่าหัง 3 นี้ไปเขียนกราฟเทียบกับอุณหภูมิจะได้ความลับพันธ์ในรูปที่ 4.12-4.14 ตามลำดับ โดยที่ค่า D_0 และ k_D มีแนวโน้มสูงขึ้นเมื่ออุณหภูมิสูงขึ้นในขณะที่ k'_D เกือบจะคงที่ จากค่า D_0 ที่ทุก ๆ อุณหภูมินำไปคำนวณค่า hydrodynamic radius ได้โดยพิจารณาสมการที่ 2.33 และ 2.34 คั่งนี้

$$f_0 = 6\pi\eta r_h \text{ และ } D_0 = \frac{kT}{f_0}$$

คั่งนัน $r_h = \frac{kT}{6\pi\eta D_0}$

เมื่อ k คือ Boltzmann Constant

$$= 1.3805 \times 10^{-23} \text{ kg m}^2 \text{ s}^{-1} \text{ deg}^{-1}$$

T คือ อุณหภูมิของสารละลาย

η คือ ความหนืดของแก้วท่าละลาย

r_h คือ hydrodynamic radius ของโพลีสไครนอิตระ

ซึ่งความหนืด ณ อุณหภูมิทั่ว ๆ ของ การบ่อนเกราะคลอร์ไรด์แสดงการวิเคราะห์ในภาคผนวก ก และค่า r_h ที่ได้แสดงในตารางที่ 4.3 ได้รูปกราฟความสัมพันธ์ของ r_h และอุณหภูมิในรูปที่ 4.5 ซึ่งแสดงให้เห็นว่า r_h มีความกชั้นเมื่ออุณหภูมิเพิ่มขึ้น

จากสมการที่ 2.33 ($D = \frac{kT}{f}$) ค่าน้ำหนัก f ที่ได้แสดงในตารางที่ 4.4 เมื่อนำค่า f และความเข้มข้น ณ อุณหภูมิทั่ว ๆ มาเขียนกราฟจะได้รูปความสัมพันธ์ในรูปที่ 4.16 ซึ่งจะเห็นได้ว่าเมื่อความเข้มข้นเพิ่มขึ้นค่า f จะลดลงและเมื่ออุณหภูมิเพิ่มขึ้นค่า f ลดลงด้วย ซึ่งความสัมพันธ์ที่ได้อ้างไปร่วมกับวิเคราะห์พบว่าสมการที่วิเคราะห์ได้คือ

$$Y = A + BX$$

ซึ่งก็คือสมการที่ 2.36

$$f = f_0(1 + k_f c)$$

ค่า k_f , f_0 ที่ได้จากการวิเคราะห์แสดงในตารางที่ 4.5 โดยค่า f_0 แสดงเปรียบเทียบกับค่าที่ได้จากการคำนวณในสมการที่ 2.33

ตารางที่

4.1 $4\pi K^2 / 2DK^2$

ของไนโตรฟลูออเรสเซนต์ในสภาวะความดันและอุณหภูมิที่ต่างกัน ณ อุณหภูมิระดับห้อง ๆ

		$B \times 10^3 \text{ s}^{-1}$						
อุณหภูมิ (°C)		35.87	38.42	40.75	42.96	45.20	47.16	49.49
จำนวน ไนโตรฟลูออเรสเซนต์ (mg/cc)	35.87							
		14.6011	15.2054	15.4614	15.9547	16.2893	16.7568	17.7054
15	16.2383	16.1863	16.8497	17.1647	17.3826	17.7787	18.1989	
	16.2246	17.0744	17.4345	17.8773	18.3569	18.9221	18.9631	
25	16.8243	17.4995	17.8148	18.4538	19.0132	19.5746	20.1045	
	17.7169	18.6985	19.0831	19.6123	20.1513	20.6633	21.1162	
30	19.6957	20.2148	20.9435	21.1019	22.4177	22.7841	23.1936	
	21.1366	21.8457	22.4329	22.8559	23.3801	23.3427	24.6444	

ตารางที่ 4.2 แสดงค่าสัมประสิทธิ์การแพร่กระจาย (D) ของไนโตรกอโนเจลในสารละจายคราบชามเทอร์เบลล์
ณ อุณหภูมิและความเข้มข้นทาง ๆ

		$D \times 10^{12} \text{ m}^2 \text{ s}^{-1}$				
อุณหภูมิ (°C)	ความเข้ม(กก/g/cc)	35.87	38.42	40.75	42.96	45.20
10	17.3558	18.0741	18.3784	18.9648	19.3625	19.9182
15	19.3019	19.2401	20.0286	20.4028	20.6621	21.1329
20	19.2856	20.2957	20.7238	21.2501	21.8202	22.4920
25	19.9985	20.8010	21.1758	21.9354	22.6003	23.2676
30	21.0595	22.2262	22.6834	23.3125	23.9532	24.5617
35	23.4116	24.0286	24.8948	25.0831	26.6471	27.0826
40	25.1243	25.9672	26.6652	27.1680	27.7911	27.7466
						29.2939

ตารางที่ 4.3 ผลของการทดสอบต่อจักษณ์วัสดุ ที่คงที่ของรากและ ค่าคงที่ของรากที่ ของสารละลาย

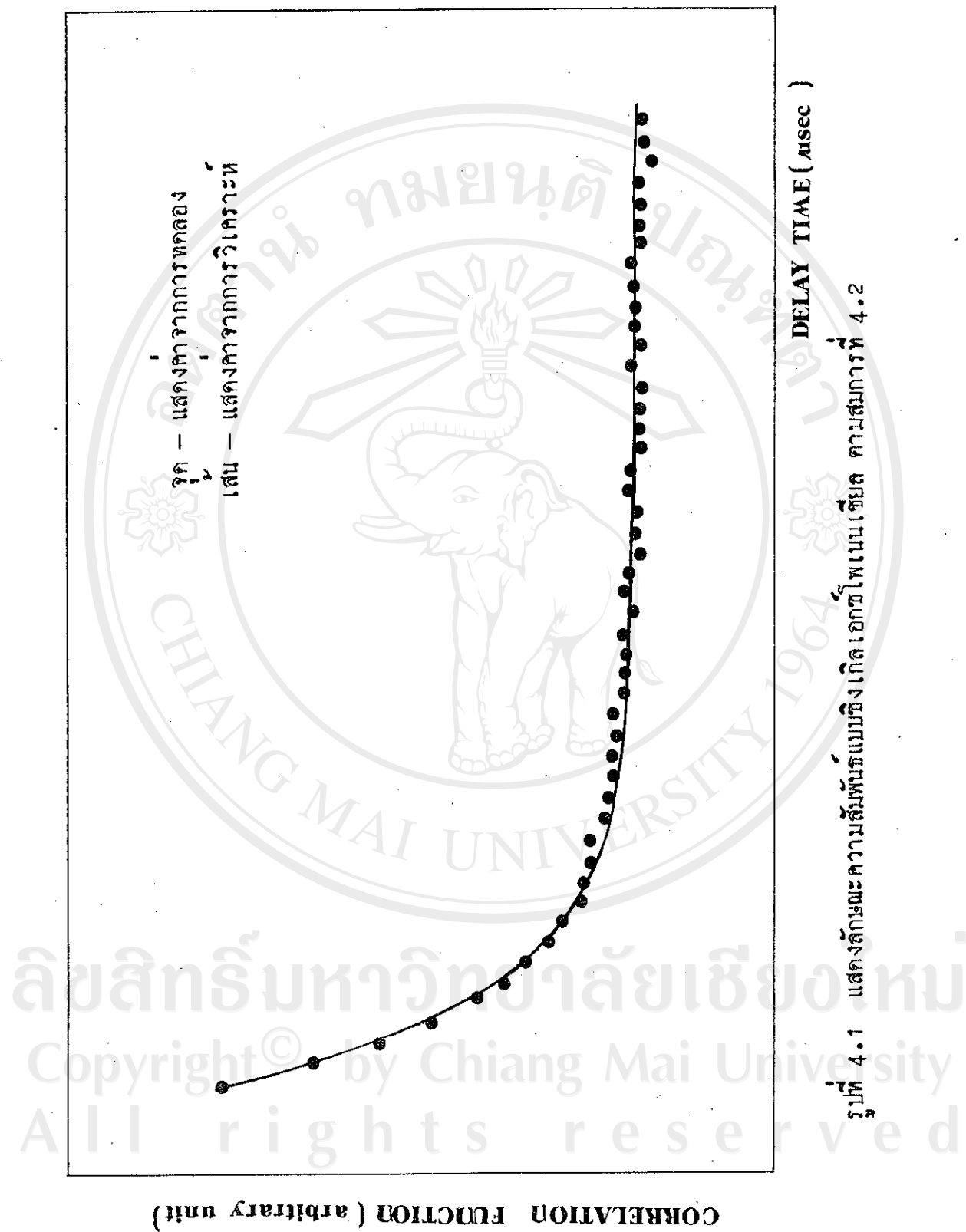
อุณหภูมิ (°C)	$D_o \times 10^{12}$ ($m^2 s^{-1}$)	k_D ($m^3 kg^{-1}$)	k'_D ($m^3 kg^{-1}$)	$r_h \times 10^{-8}$ (m)
35.87	17.6876 ± 0.1234	-1.8597 × 10 ⁻³	3.0614 × 10 ⁻⁴	1.6477 ± 0.0115
38.42	17.5948 ± 0.1411	1.5147 × 10 ⁻³	2.5540 × 10 ⁻⁴	1.7269 ± 0.0138
40.75	18.1246 ± 0.1903	0.8835 × 10 ⁻³	2.7043 × 10 ⁻⁴	1.7408 ± 0.0183
42.96	18.4624 ± 0.1036	2.0314 × 10 ⁻³	2.3818 × 10 ⁻⁴	1.7699 ± 0.0099
45.20	18.2403 ± 0.1468	4.9211 × 10 ⁻³	2.1007 × 10 ⁻⁴	1.8550 ± 0.0149
47.16	18.0779 ± 0.1331	9.4087 × 10 ⁻³	1.0780 × 10 ⁻⁴	1.9286 ± 0.0142
49.49	20.7404 ± 0.1114	-1.6445 × 10 ⁻³	3.0274 × 10 ⁻⁴	1.7409 ± 0.0094

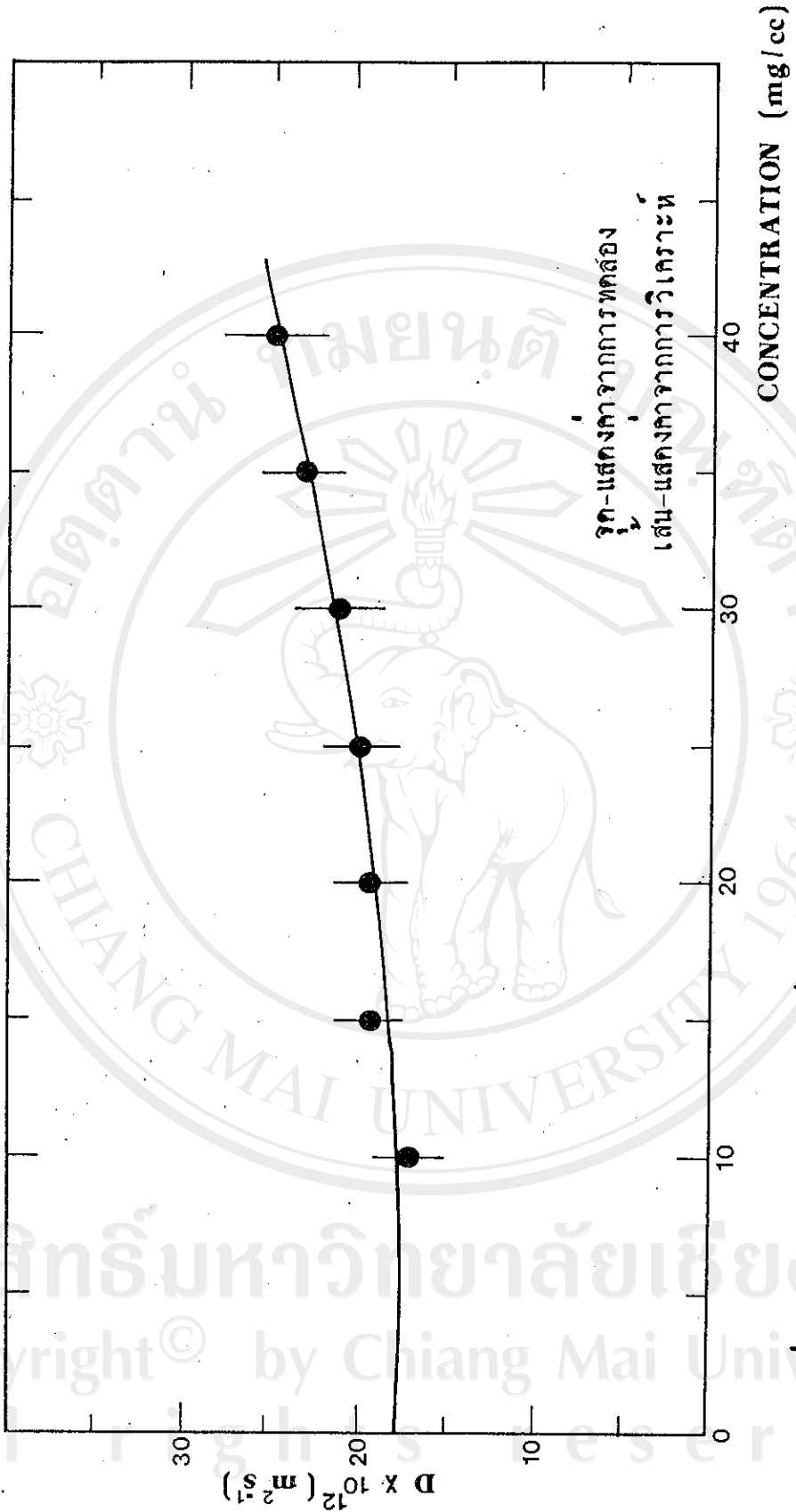
ตารางที่ 4.4 ผลต่าง F ของตัวระบุภายในพื้นที่ร้อนในกระบวนการเผาไหม้คลอไรด์ ณ อุณหภูมิและความเร็วขั้นต้น ๗

		$F \times 10^{10} \text{ kg s}^{-1}$				
กํารูป เชิงชล (mg/cc)	อุณหภูมิ (°C)	35.87	38.42	40.75	42.96	45.20
10	2.4568	2.3786	2.3567	2.2999	2.2687	2.2190
15	2.2091	2.2345	2.1626	2.1378	2.1260	2.0914
20	2.2110	2.1183	2.0900	2.0526	2.0132	1.9650
25	2.1322	2.0668	2.0454	1.9885	1.9437	1.8996
30	2.0247	1.9343	1.9095	1.8710	1.8339	1.7995
35	1.8213	1.7892	1.7398	1.7389	1.6485	1.6320
40	1.6970	1.6556	1.6243	1.6055	1.5806	1.5929

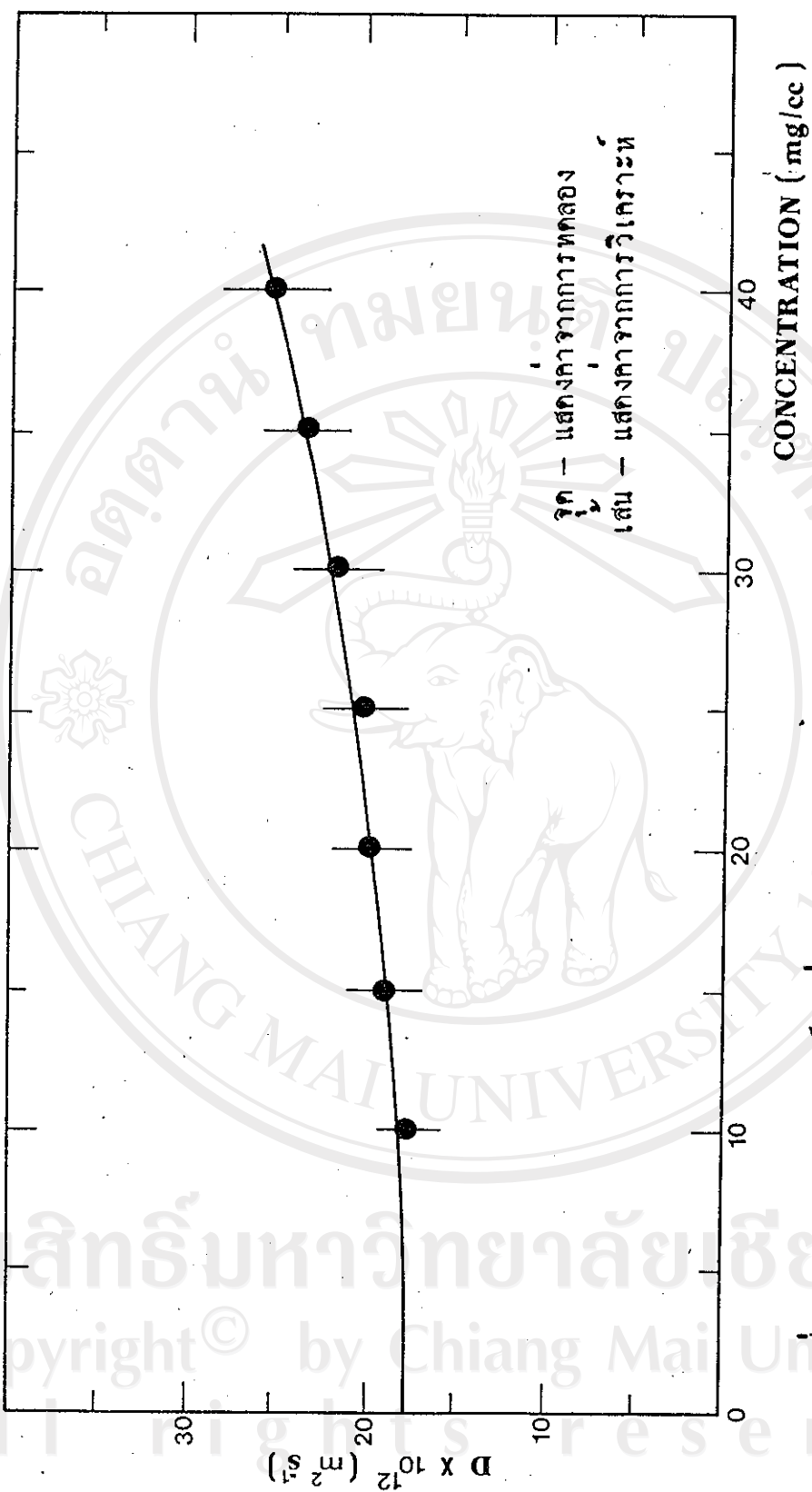
ตารางที่ 4.5 ผลค่า k_f , f_0 จากการวิเคราะห์กราฟ, f_0 จากสมการที่ 2.33 ณ คุณภาพคงที่ ช่องทางเดียว

คุณภาพ (°C)	$k_f \times 10^3$ ($\text{m}^3 \text{kg}^{-1}$)	จราจรภาพ $f_0 \times 10^{10}$ (kg s^{-1})	จราจรกำลัง $f_0 \times 10^{10}$ (kg s^{-1})
35.87	-8.7105 ± 1.1097	2.6577 ± 0.0643	2.4107 ± 0.0168
38.42	-8.8961 ± 0.5030	2.6045 ± 0.0285	2.4434 ± 0.0196
40.75	-8.9736 ± 0.2145	2.5653 ± 0.0434	2.3897 ± 0.0251
42.96	-8.7408 ± 0.5229	2.5032 ± 0.0285	2.3625 ± 0.0133
45.20	-9.1856 ± 0.5431	2.4876 ± 0.0292	2.4083 ± 0.0194
47.16	-8.7630 ± 0.5433	2.4147 ± 0.0286	2.4449 ± 0.0180
49.49	-8.7098 ± 0.5917	2.3594 ± 0.0206	2.1465 ± 0.0115



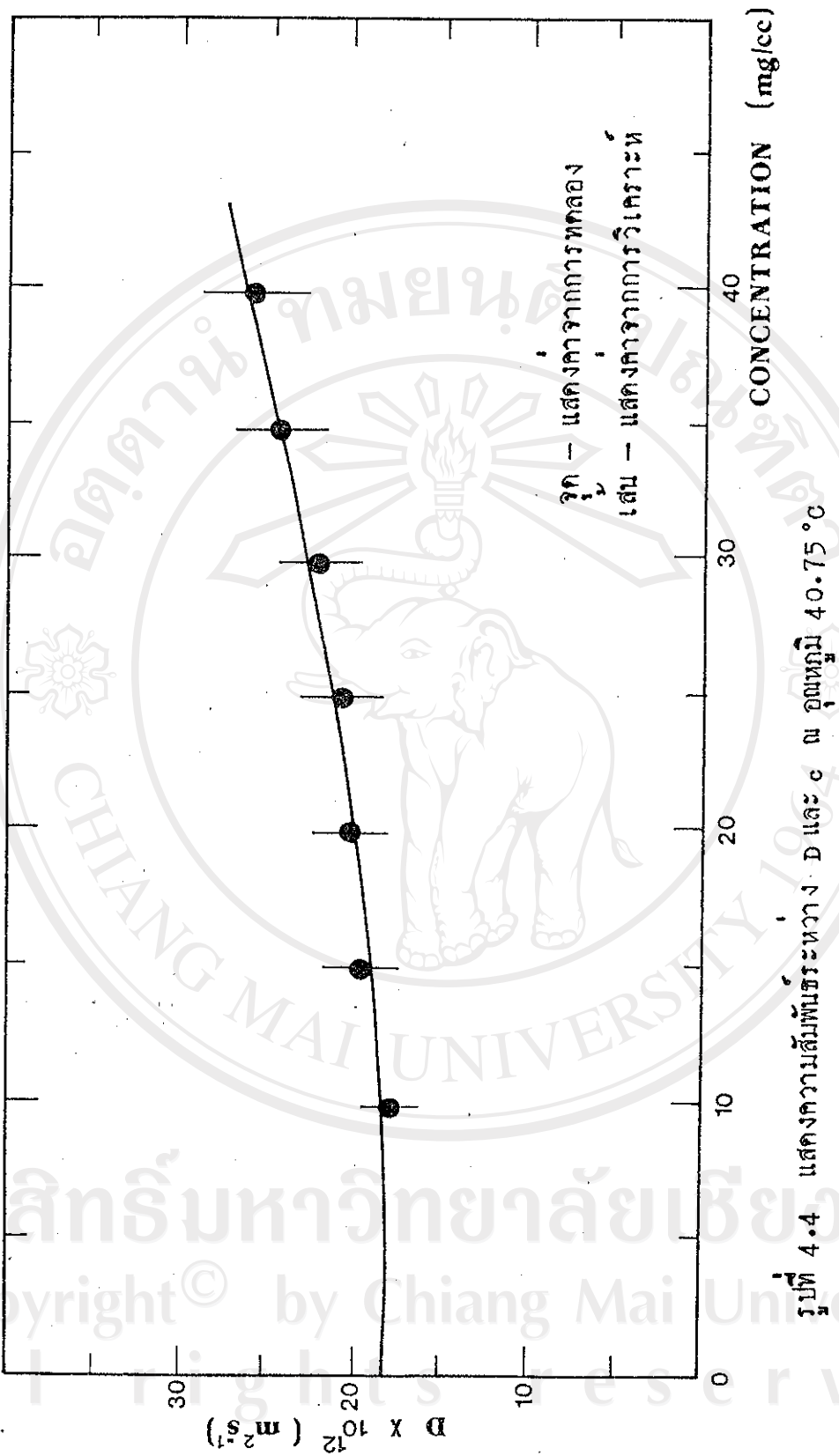


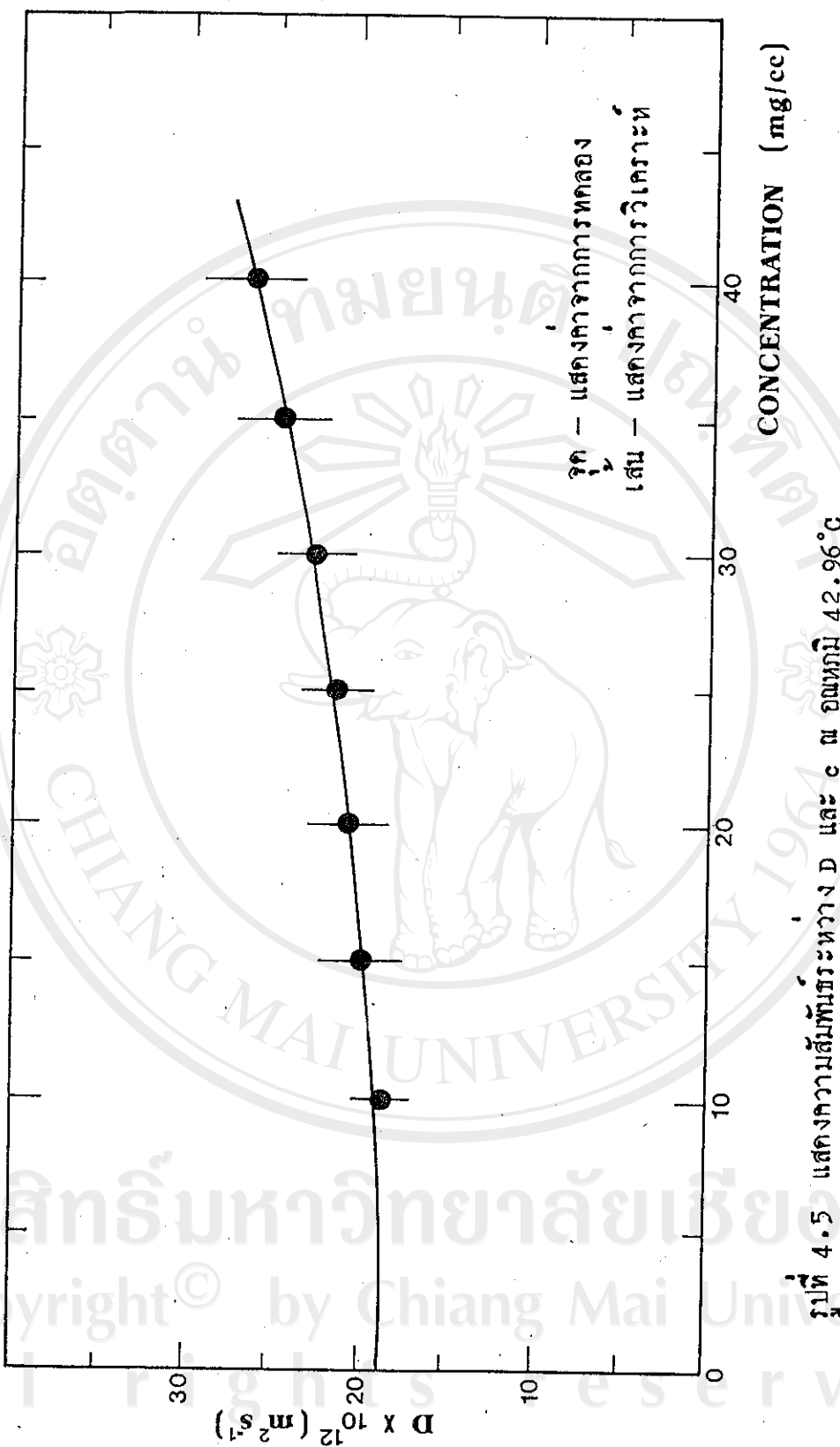
อิชชิน มหาวิทยาลัยเชียงใหม่
Copyright © by Chiang Mai University
All rights reserved

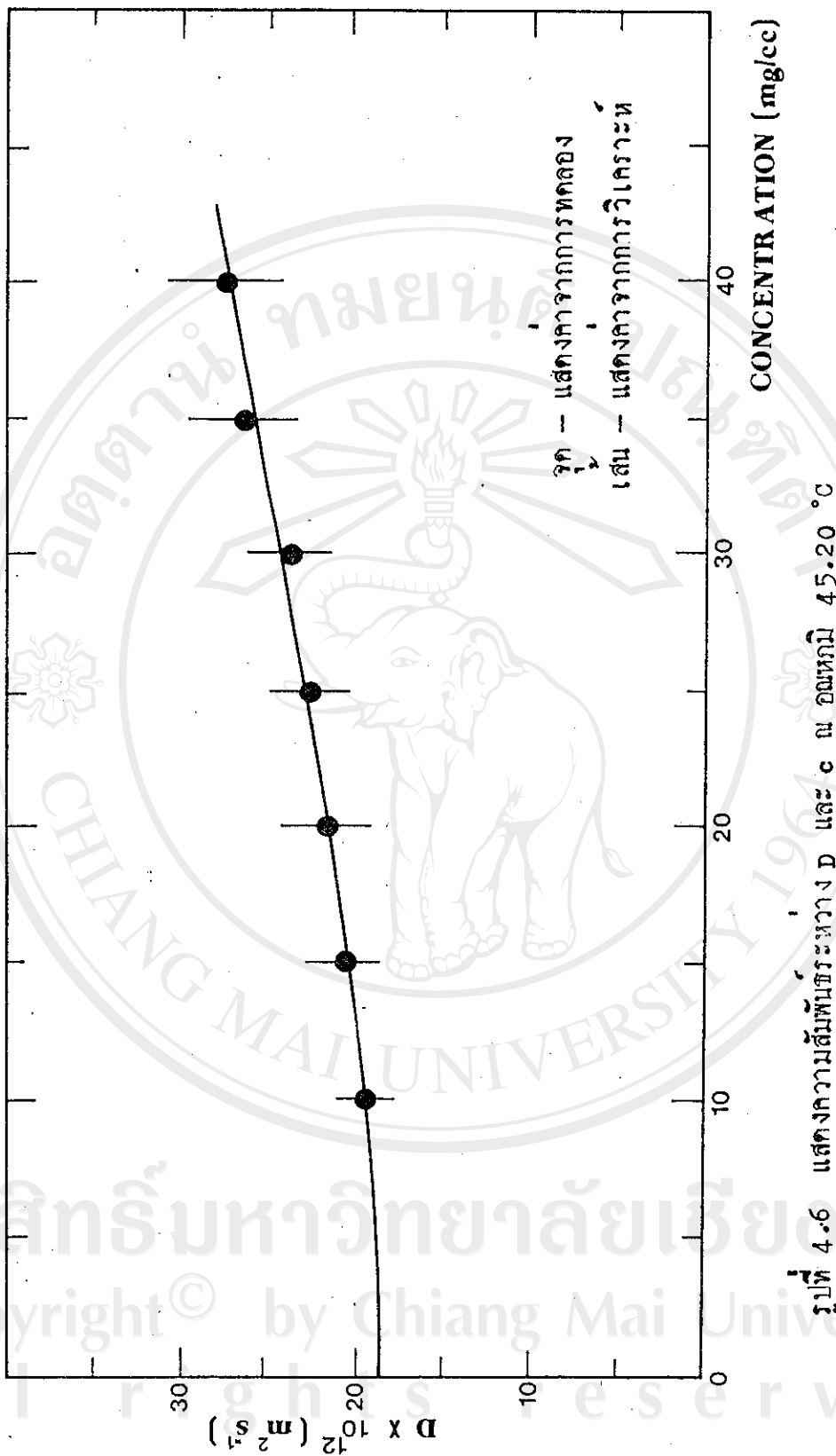


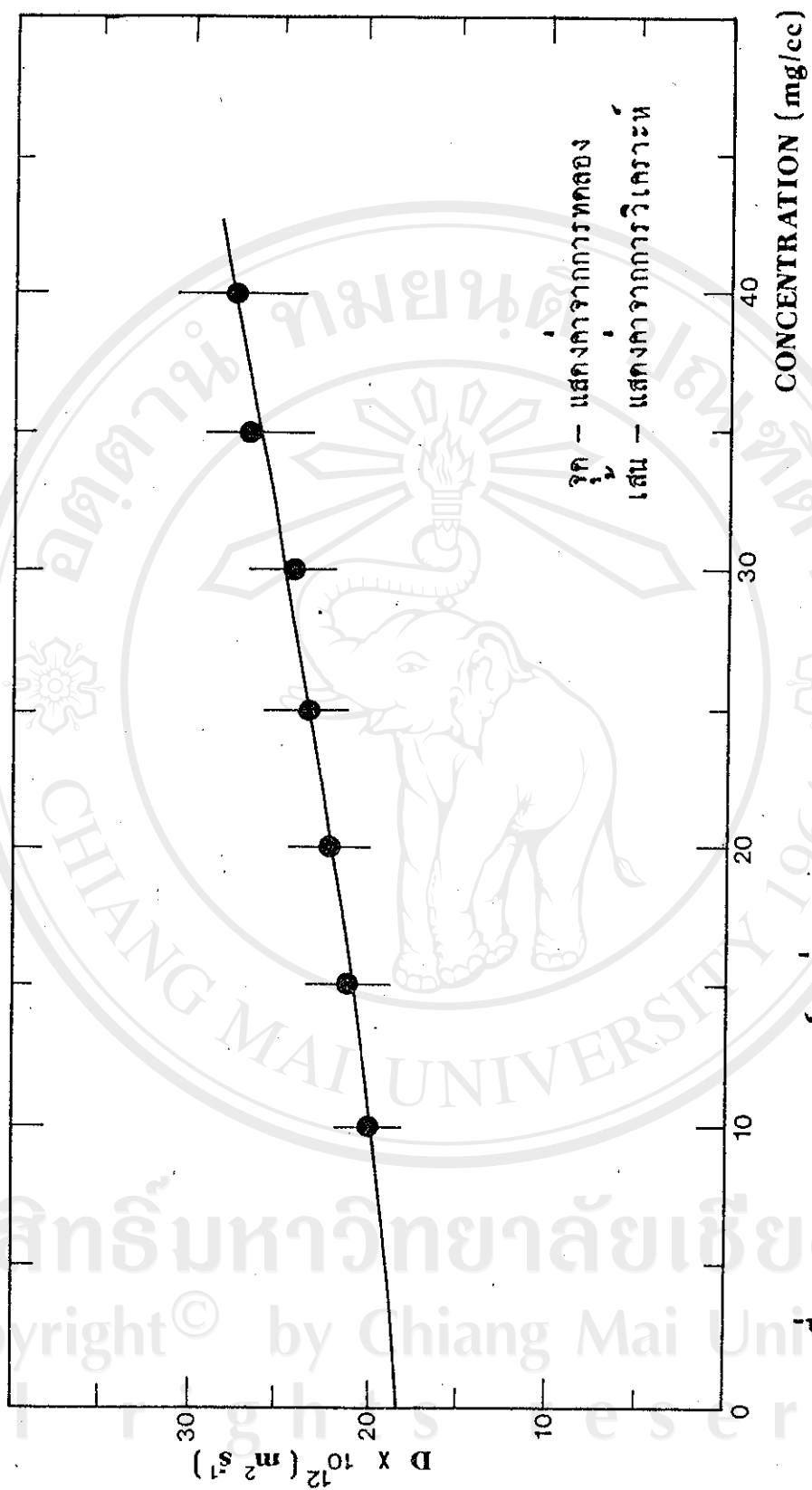
รูปที่ 4.3 ผลของการทดลองความสัมพันธ์ระหว่าง D และ C ณ ชุดหก 36.42 °C
ผลการทดลองของไข่และไข่ต้ม

Copyright © by Chiang Mai University
All rights reserved

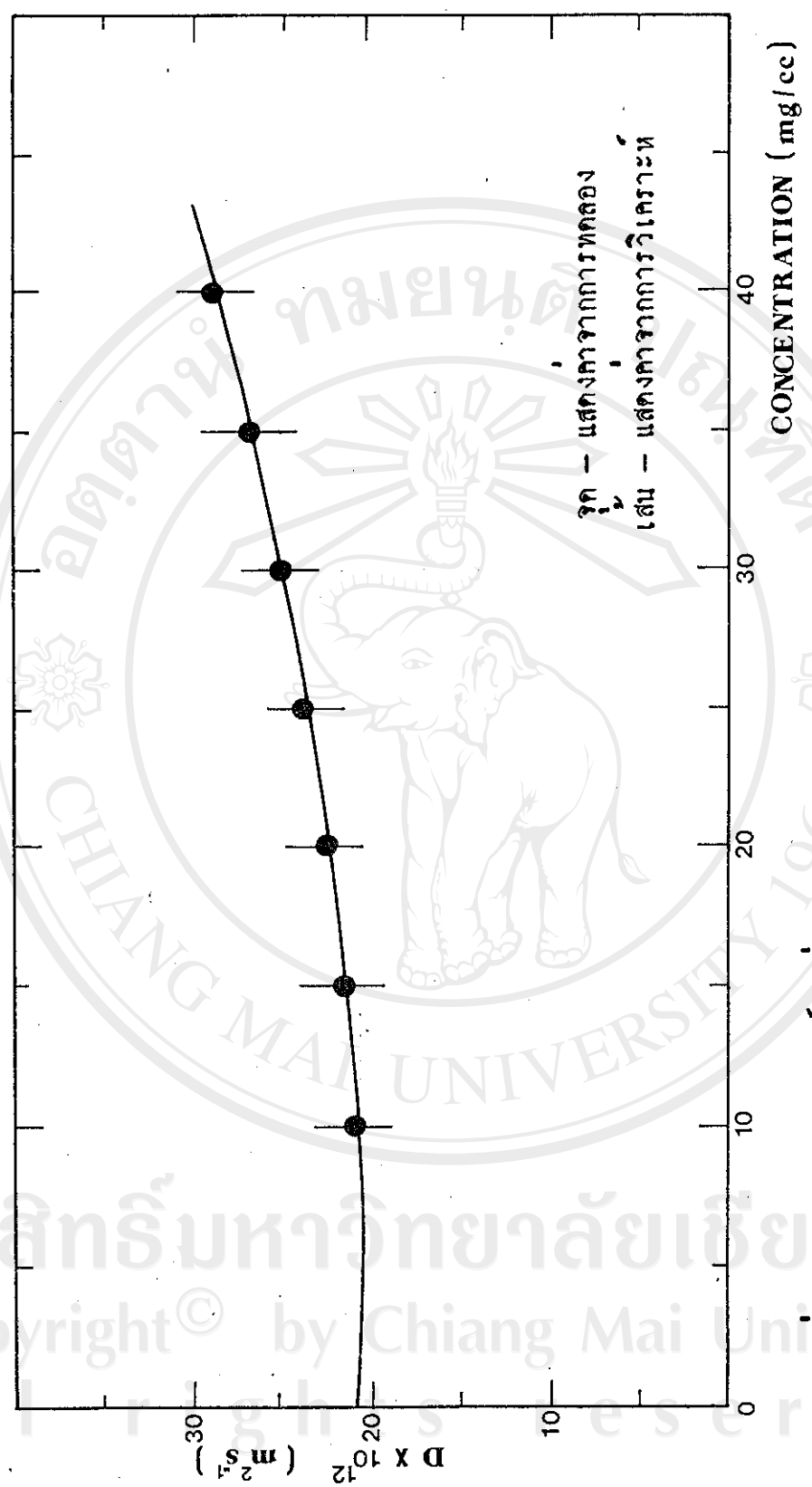








รูป 4.7. ผลการวัดความซึมพันธุ์ระหว่าง D และ C เมื่อห้อง 47.16°C



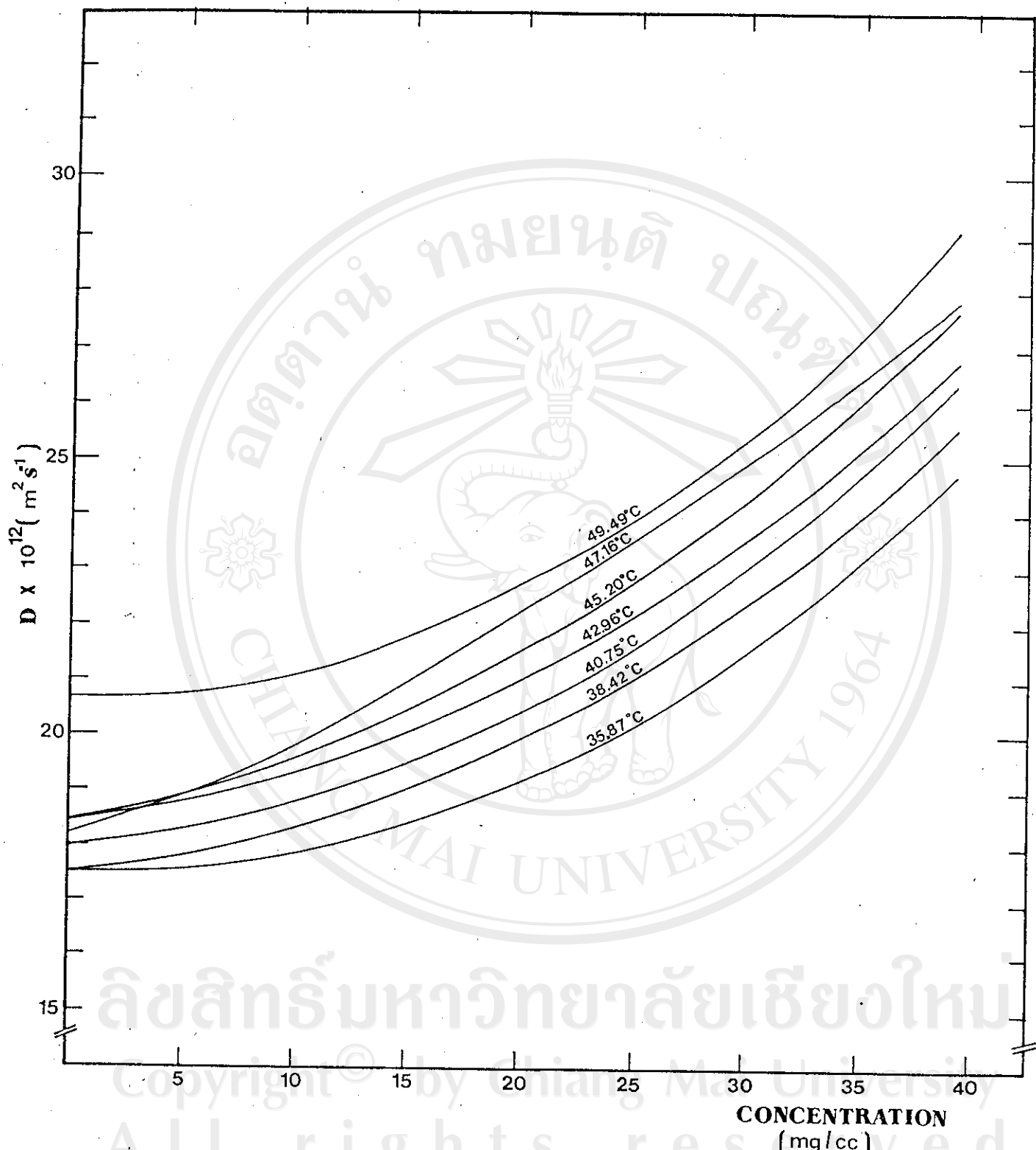
จุดที่ 4.8 แมสต์ก้า ความดันพื้นที่ห้องว่าง 0 เมตร ณ ชั้นหนูมี 49.49°C

All

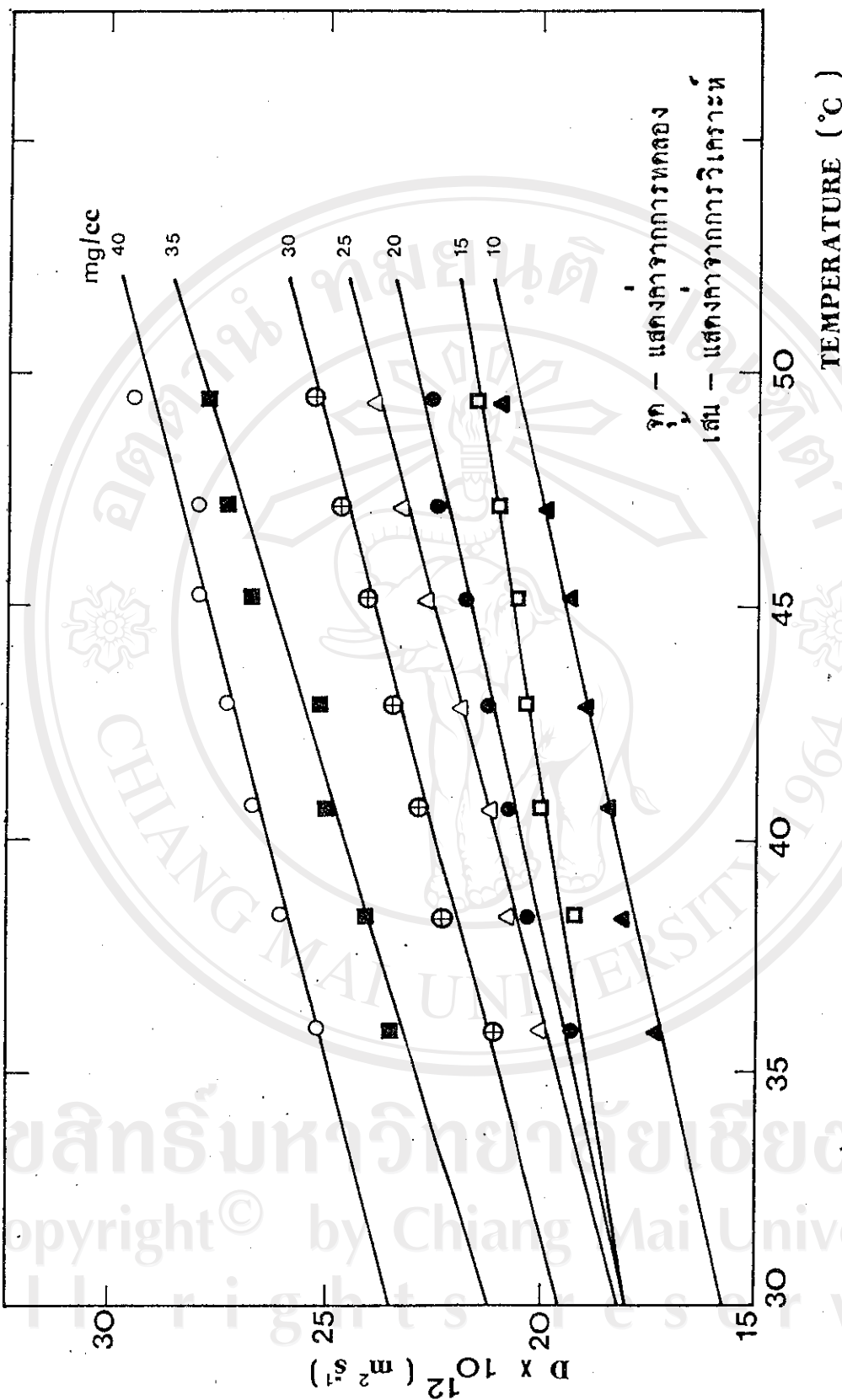
Copyright ©

by Chiang Mai University

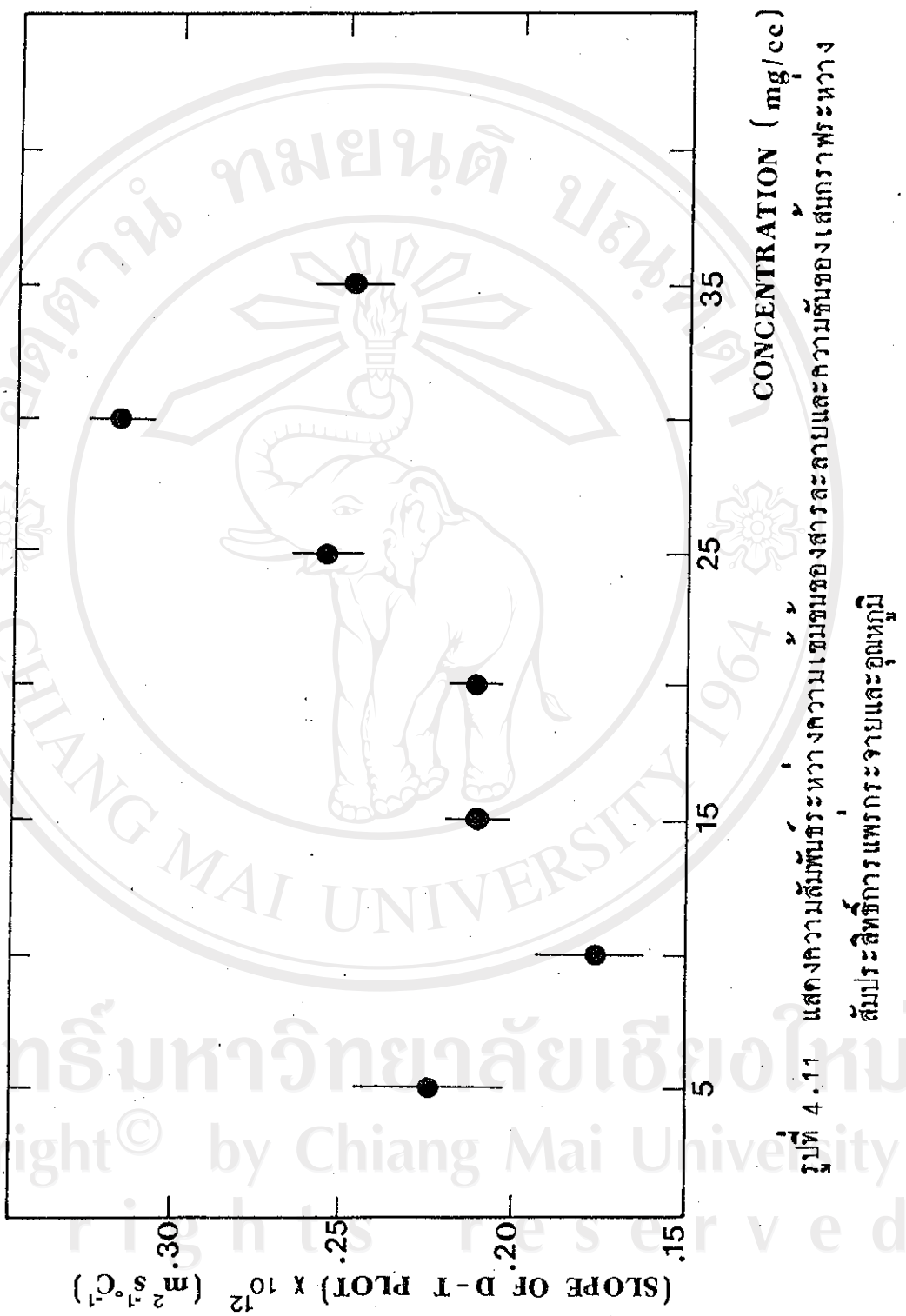
All rights reserved

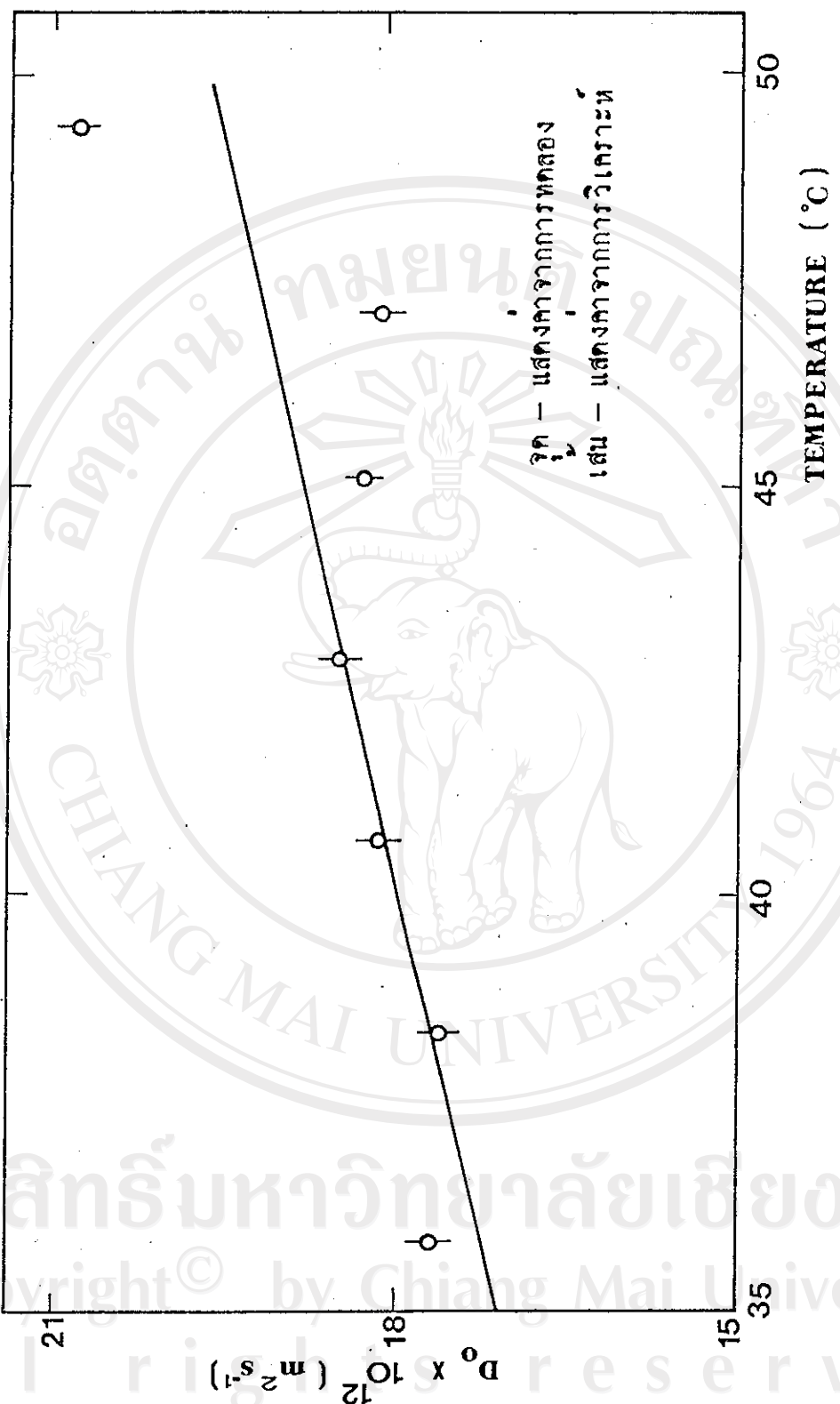


รูปที่ 4.9 แสดงความสัมพันธ์ระหว่างสัมประสิทธิ์การแพร่กระจายและความเข้มข้น
ณ อุณหภูมิคง ๆ

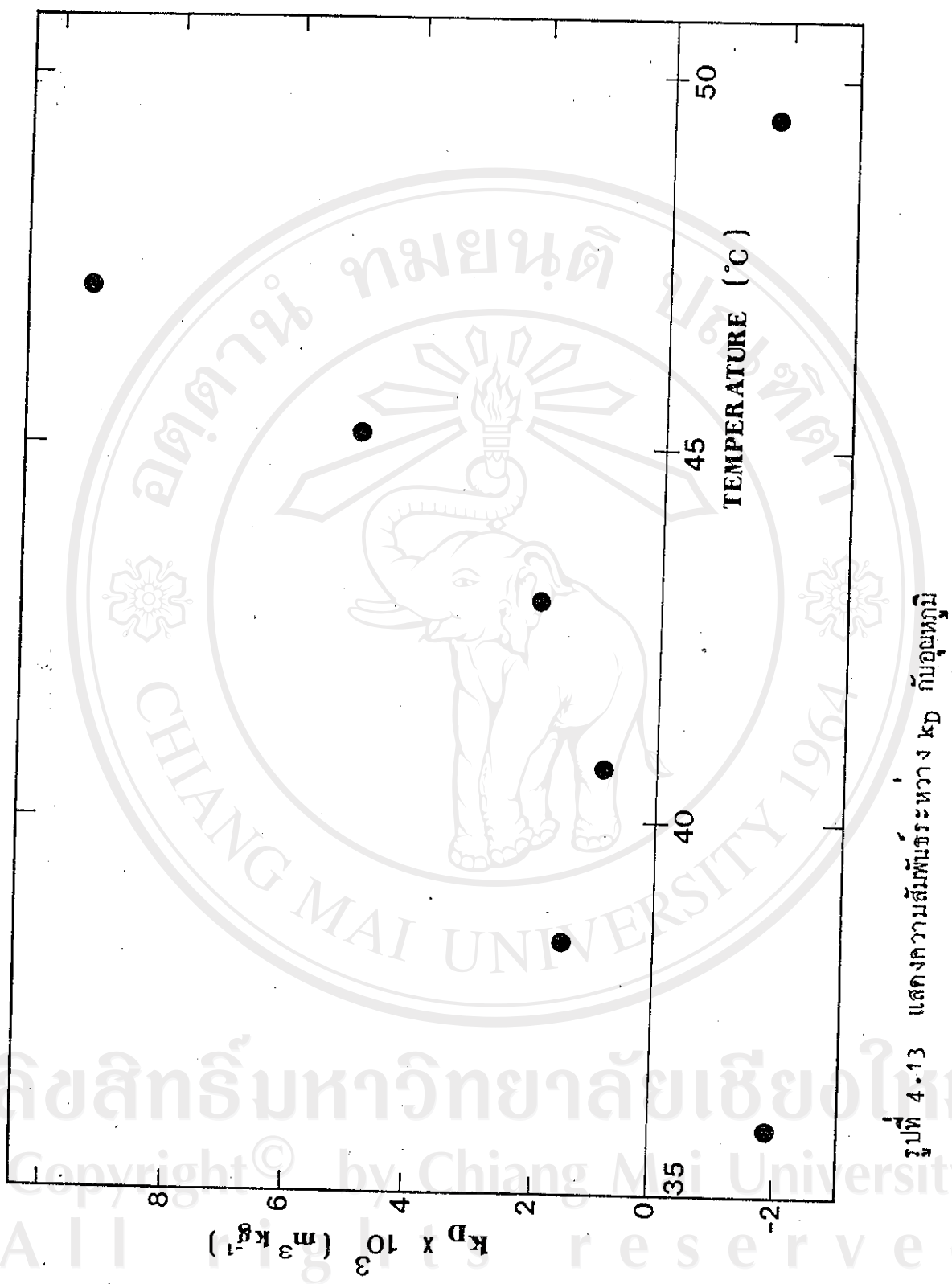


รูป 4.10 ผลของการเปลี่ยนแปลงของความถ่วงจำเพาะและค่าสัมบูรณ์ระหว่างการแปรผันของความดันของแก๊สกับความเร็วการ擴散และการละลาย

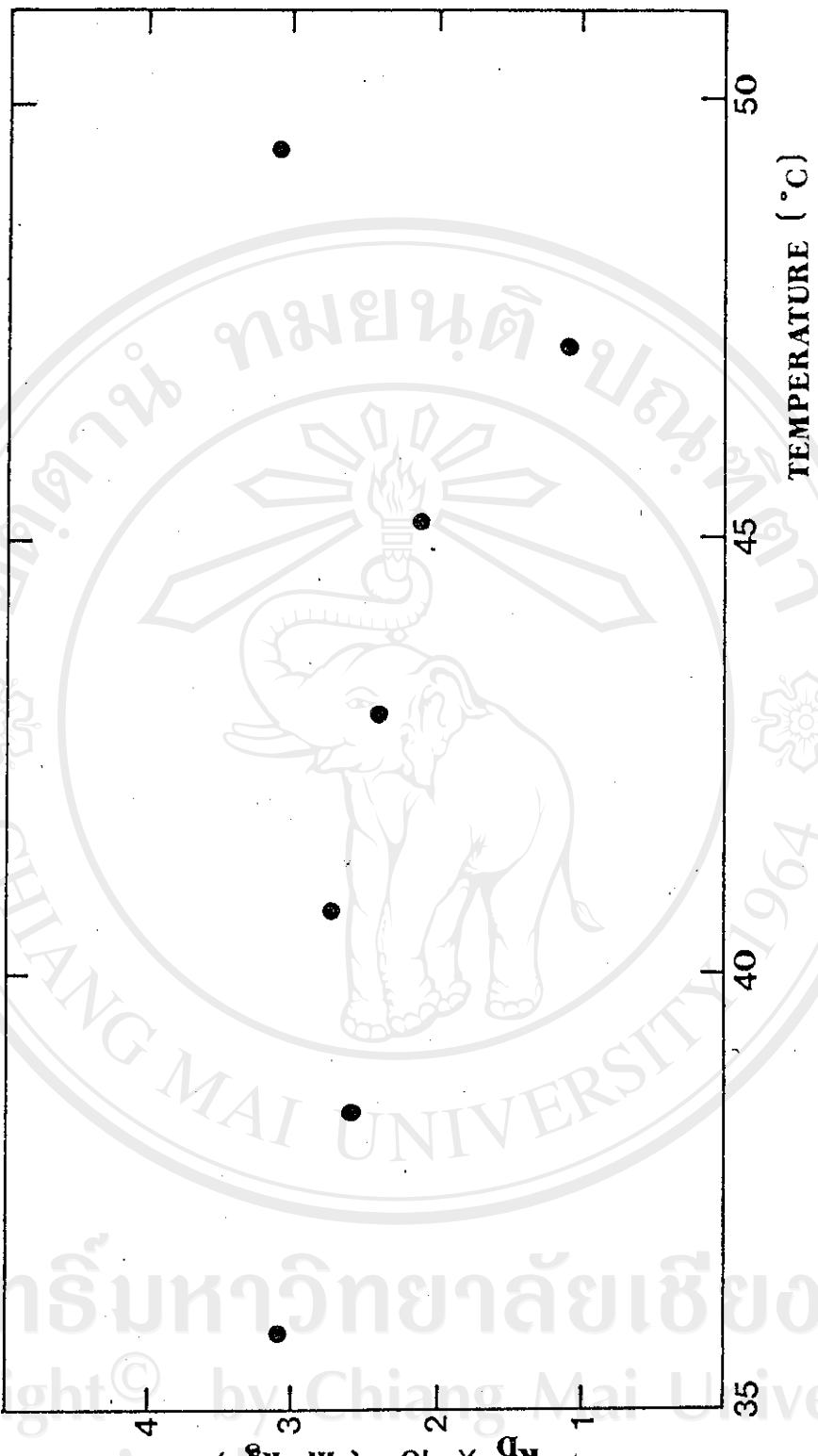




ปีที่ 4 • 12 แมสกงค่าวัสดุพื้นผืนดินระหว่าง D_0 กับค่าคงที่

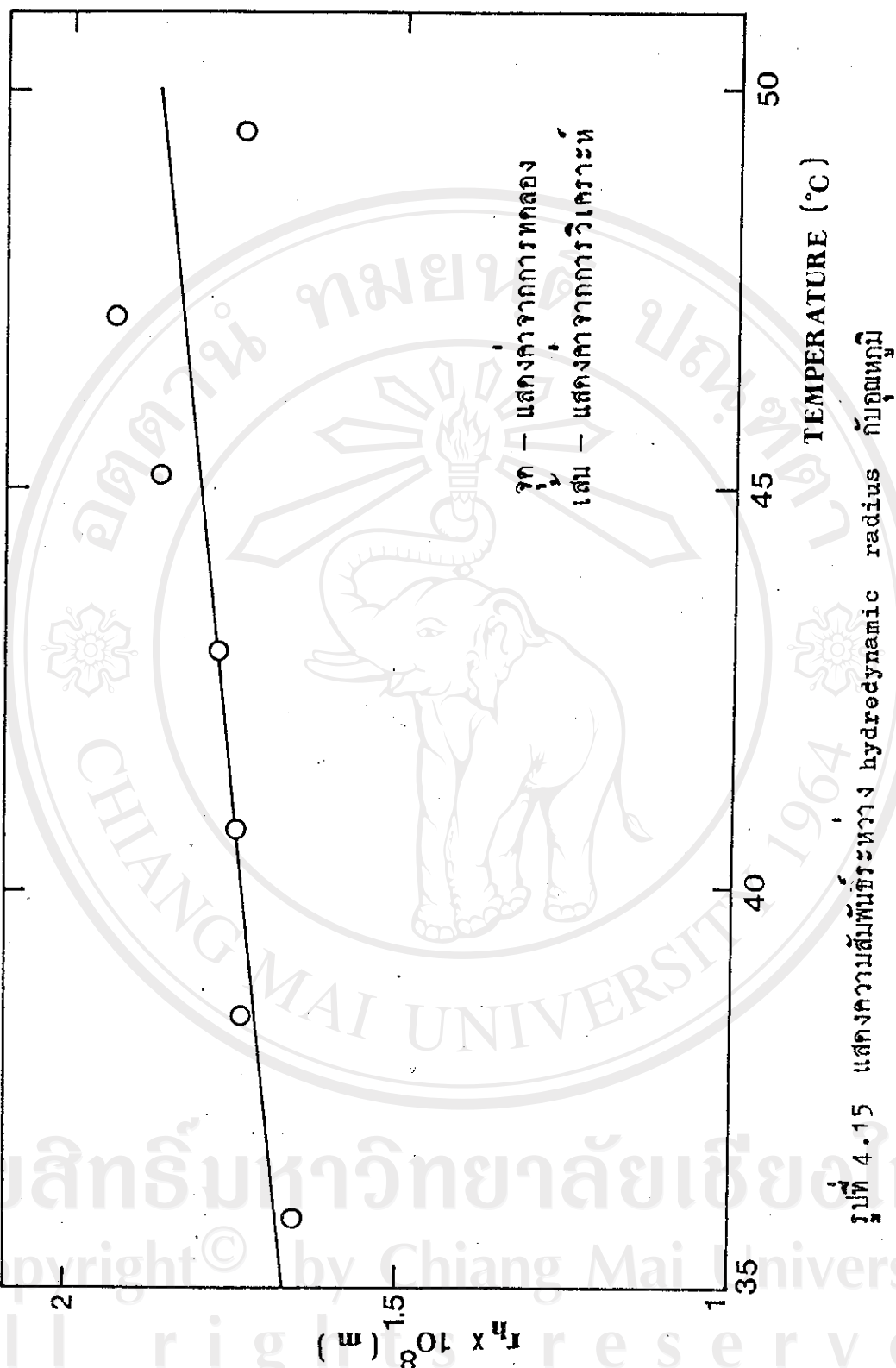


บัณฑิตวิทยาลัย มหาวิทยาลัยเชียงใหม่



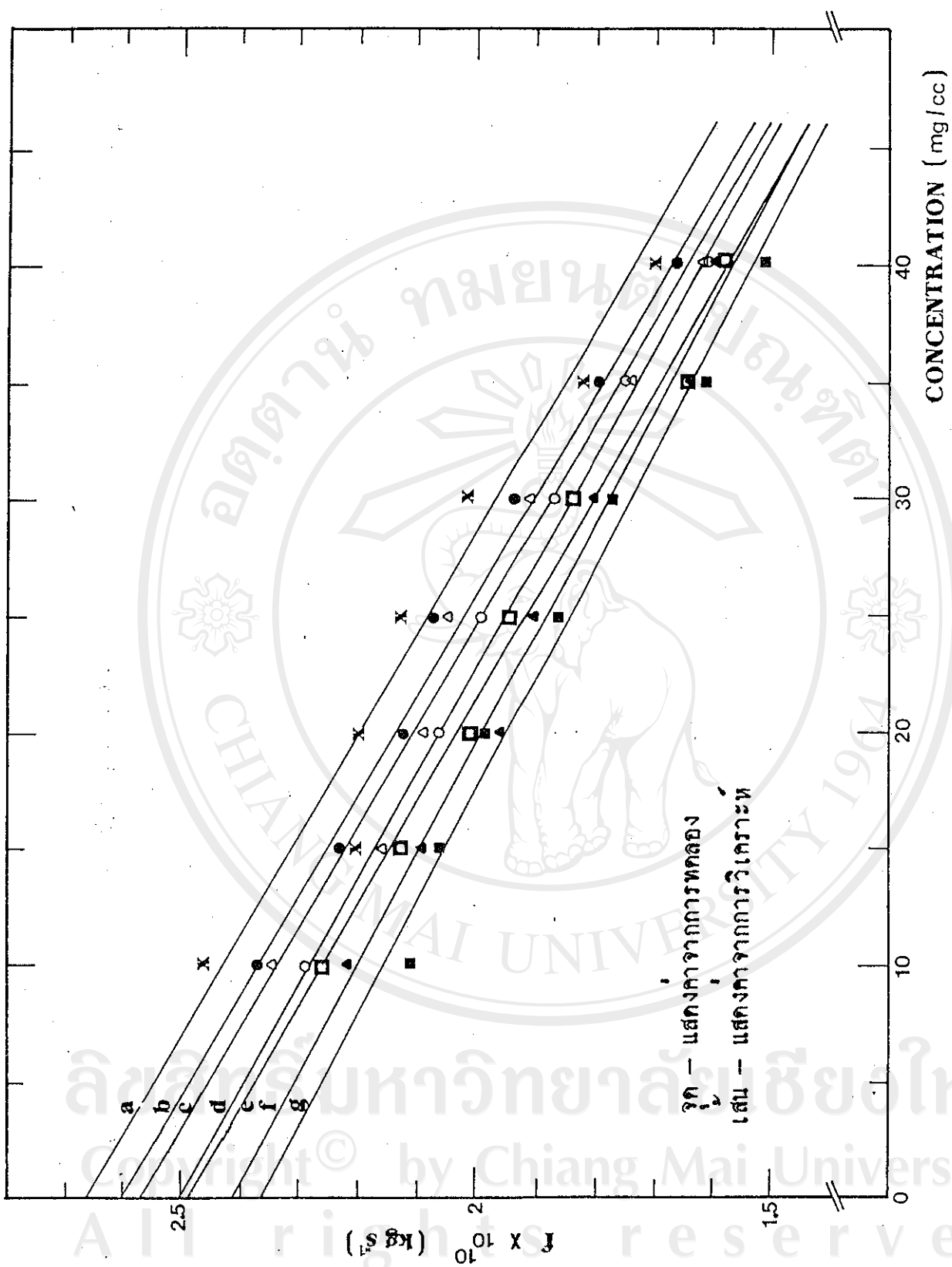
รุ่นที่ 4.14 แสดงความสัมพันธ์ระหว่าง k_D กับอุณหภูมิ

Copyright © by Chiang Mai University
All rights reserved



รูปที่ 4.15 แมสก์ความสัมพันธ์ระหว่าง hydrodynamic radius กับอุณหภูมิ

Copyright © by Chiang Mai University
All rights reserved



รูปที่ 4.16 แมสคงค่ามั่นพันธุ์ระหว่างค่าปรับระดับน้ำและการทดสอบและค่าความเชื่อมต่อ ณ อุณหภูมิของสารละลายเป็น 35.87, 38.42, 40.75, 42.96, 45.20, 47.16 และ 49.49°C ตามลำดับ เทียบกับ b, c, d, e, f, g